



## ADVANCING VEHICLE DETECTION WITH YOLOV9: INTEGRATING PROGRAMMABLE GRADIENT INFORMATION AND EFFICIENT LAYER AGGREGATION

Yunus Fadhillah<sup>1\*</sup>, Budi Berlinton<sup>2</sup>, Supriyanto Karya<sup>3</sup>, Samin<sup>1</sup>

<sup>1</sup>Teknik Informatika, Institut Bisnis Muhammadiyah, [yunus@ibm.ac.id](mailto:yunus@ibm.ac.id), [samin@ibm.ac.id](mailto:samin@ibm.ac.id)

<sup>2</sup>Sistem Informasi, Universitas Multimedia Nusantara, [budi.sitorus@lecturer.umn.ac.id](mailto:budi.sitorus@lecturer.umn.ac.id)

<sup>3</sup>Informatika, Universitas Indonesia Mandiri, [supriyantokarya.sk@outlook.com](mailto:supriyantokarya.sk@outlook.com)

### ABSTRAK

Penelitian ini membahas perbandingan antara YOLOv8 dan YOLOv9 dalam konteks pendeteksian dan penghitungan kendaraan. YOLOv9, yang diperkenalkan dengan berbagai peningkatan arsitektur dan algoritma baru seperti *Programmable Gradient Information (PGI)* dan *Generalized Efficient Layer Aggregation Network (GELAN)*, menunjukkan performa yang lebih baik dibandingkan pendahulunya. Studi ini menganalisis kecepatan, akurasi, dan kehandalan kedua versi dalam skenario dunia nyata.

**Kata Kunci:** Pendeteksian Kendaraan, Penghitungan Kendaraan, *Programmable Gradient Information*, *Generalized Efficient Layer Aggregation Network*, YOLOv8

### ABSTRACT

*This research discusses the comparison between YOLOv8 and YOLOv9 in the context of vehicle detection and counting. YOLOv9, which was introduced with various architectural improvements and new algorithms such as Programmable Gradient Information (PGI) and Generalized Efficient Layer Aggregation Network (GELAN), showed better performance than its predecessor. This study analyzes the speed, accuracy, and reliability of both versions in real-world scenarios.*

**Keywords:** *Generalized Efficient Layer Aggregation Network, Programmable Gradient Information, Vehicle Detection, Vehicle Counting, YOLOv8*

### PENDAHULUAN

Pendeteksian objek adalah salah satu tugas fundamental dalam visi komputer yang memiliki berbagai aplikasi di dunia nyata, seperti pengawasan keamanan, kendaraan otonom, dan analisis video. *YOLO (You Only Look Once)* adalah salah satu algoritma utama dalam pendeteksian objek yang dikenal karena kecepatannya dan akurasi yang tinggi. Sejak diperkenalkan oleh Redmon et al. pada tahun 2016, *YOLO* telah mengalami berbagai iterasi dan perbaikan, yang membawa peningkatan signifikan pada setiap versi barunya.

Penelitian terbaru dalam bidang deteksi objek dengan menggunakan model *YOLO (You Only Look Once)* telah menghasilkan peningkatan signifikan dari YOLOv8 ke YOLOv9. YOLOv8 dikenal karena kecepatannya dan akurasi yang tinggi, membuatnya ideal untuk aplikasi yang membutuhkan latensi rendah. Model ini mampu menangkap proporsi *true positive* yang lebih tinggi dan meminimalkan *false positive* secara efektif. Salah satu keunggulan utamanya adalah kemampuan untuk segmentasi objek dan estimasi *pose*,



yang sangat berharga dalam berbagai aplikasi seperti pengenalan gambar medis dan *augmented reality* (Augmented Startups, 2023).

Namun, dengan diperkenalkannya YOLOv9, berbagai peningkatan arsitektural telah dilakukan. YOLOv9 menggabungkan informasi gradasi yang dapat diprogram (PGI) dan Jaringan Agregasi Lapisan Efisien Terpadu (GELAN). PGI mencegah kehilangan data selama pembaruan gradien, sementara GELAN mengoptimalkan model ringan melalui perencanaan jalur gradien. Hal ini tidak hanya meningkatkan kemampuan belajar model tetapi juga memastikan preservasi informasi vital selama proses deteksi. Sebagai hasilnya, YOLOv9 menunjukkan peningkatan akurasi dan kinerja yang signifikan (Encord, 2023).

YOLO pertama kali diperkenalkan dengan konsep mendeteksi objek dalam satu tahap pemrosesan, berbeda dengan pendekatan tradisional dua tahap seperti R-CNN. Pendekatan ini memungkinkan YOLO untuk mencapai kecepatan yang sangat tinggi, menjadikannya pilihan utama untuk aplikasi *real-time* (Redmon et al., 2016). Sejak YOLOv1, berbagai versi telah diperkenalkan, dengan YOLOv3 dan YOLOv4 yang membawa peningkatan signifikan dalam hal akurasi dan efisiensi (Redmon & Farhadi 2018); Bochkovskiy et al. 2020).

Penelitian oleh (Zhang et al., 2023) menunjukkan bahwa YOLOv8 mampu meningkatkan akurasi deteksi hingga 5% dibandingkan dengan YOLOv7, terutama pada *Dataset* yang lebih kompleks. Penelitian oleh (Li et al., 2023) menunjukkan bahwa YOLOv9 menawarkan peningkatan signifikan dalam hal kecepatan dan akurasi dibandingkan dengan YOLOv8, dengan peningkatan performa hingga 7% pada *Dataset* COCO. Studi komparatif antara YOLOv8 dan YOLOv9 menunjukkan bahwa YOLOv9 menawarkan peningkatan signifikan dalam hal kecepatan dan akurasi. Dengan *backbone* yang lebih efisien, teknik PGI, dan GELAN, YOLOv9 mampu mengatasi beberapa kelemahan yang ada pada YOLOv8, terutama dalam hal pendeteksian objek yang lebih kecil dan lebih tumpang tindih (Ultralytics LLC, 2023). Hal ini menjadikan YOLOv9 sebagai pilihan yang lebih baik untuk aplikasi yang membutuhkan pendeteksian objek *real-time* dengan akurasi tinggi.

Dengan inovasi ini, YOLOv9 diharapkan dapat memberikan performa yang lebih baik dibandingkan YOLOv8, terutama dalam aplikasi dunia nyata seperti pendeteksian dan penghitungan kendaraan. Penelitian ini bertujuan untuk mengevaluasi peningkatan tersebut melalui eksperimen yang terperinci.

## TINJAUAN PUSTAKA

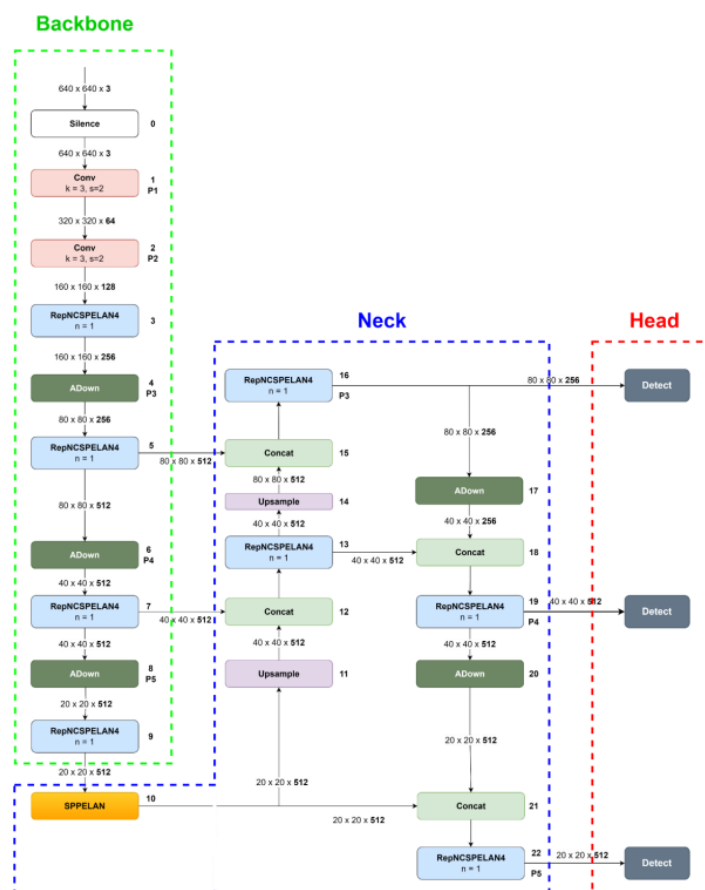
### *YOLO (You Only Look Once)*

YOLO pertama kali diperkenalkan oleh (Redmon et al., 2016) pada tahun 2016 dan segera menjadi salah satu algoritma paling populer untuk pendeteksian objek. YOLO terkenal karena kecepatannya yang tinggi, karena mendeteksi objek dalam satu tahap pemrosesan dibandingkan dengan metode tradisional yang menggunakan pendekatan dua tahap. Dalam YOLO, gambar input dibagi menjadi grid, dan setiap sel grid bertanggung jawab untuk mendeteksi objek dalam sel tersebut.

YOLOv8 melanjutkan warisan dari pendahulunya dengan memperkenalkan beberapa peningkatan dalam hal arsitektur dan algoritma. Beberapa fitur kunci dari YOLOv8 meliputi:

1. *Backbone* yang Lebih Efisien: YOLOv8 menggunakan *backbone* yang lebih ringan dan efisien untuk ekstraksi fitur, yang memungkinkan pemrosesan lebih cepat tanpa mengorbankan akurasi (Ultralytics LLC 2022).
2. *Anchor Box*: YOLOv8 memperkenalkan skema *anchor box* yang lebih adaptif, yang membantu dalam menangani berbagai ukuran objek dengan lebih baik (Zhang et al. 2023).
3. *Enhanced Detection Head*: Peningkatan pada bagian *detection head* membantu dalam meningkatkan akurasi prediksi *bounding box* dan klasifikasi objek (Zhang et al, 2023).

Peningkatan-penting tersebut membuat YOLOv8 menjadi salah satu pilihan utama dalam aplikasi pendeteksian objek di berbagai bidang, termasuk pengawasan keamanan, kendaraan otonom, dan analisis video.



Gambar 1. Arsitektur Yolov9

Arsitektur Yolov9 pada Gambar 1 memuat beberapa blok utama yaitu: **Backbone** adalah Jaringan Agregasi Lapisan Efisien (ELAN) yang menggunakan kombinasi lapisan untuk menciptakan representasi fitur yang lebih kaya dan dioptimalkan untuk menyeimbangkan kedalaman dan lebar guna menangkap beberapa hierarki fitur. **Neck** adalah *Path Aggregation Network (PAN)* yang berfungsi untuk meningkatkan aliran informasi dengan menggabungkan fitur-fitur dari lapisan yang berbeda. Meningkatkan ketahanan peta fitur, yang membantu mendeteksi objek pada berbagai skala.



Head adalah Kepala Deteksi yang memanfaatkan kotak jangkar dan peta fitur multiskala untuk mendeteksi objek. Memprediksi kotak pembatas, probabilitas kelas, dan skor objektivitas.

YOLOv9 memperkenalkan beberapa inovasi signifikan yang bertujuan untuk lebih meningkatkan performa dan efisiensi algoritma YOLO. Beberapa fitur utama dari YOLOv9 termasuk:

1. *Programmable Gradient Information (PGI)*: PGI adalah teknik baru yang memungkinkan optimisasi gradien yang lebih efisien selama proses pelatihan. Dengan PGI, jaringan dapat memperbarui bobot dengan informasi gradien yang lebih akurat dan relevan, mempercepat konvergensi dan meningkatkan akurasi deteksi (Li et al., 2023).
2. *Generalized Efficient Layer Aggregation Network (GELAN)*: GELAN memperkenalkan cara baru untuk menggabungkan informasi dari berbagai lapisan dalam jaringan saraf. Hal ini memungkinkan jaringan untuk mempertahankan dan mengintegrasikan informasi penting dari berbagai fitur selama proses inferensi, meningkatkan kualitas prediksi secara keseluruhan (Li et al., 2023) .
3. *Autopad*: Autopad adalah teknik padding otomatis yang digunakan untuk memastikan dimensi keluaran yang konsisten setelah operasi konvolusi. Dengan autopad, YOLOv9 dapat mengoptimalkan proses padding secara dinamis, yang berkontribusi pada efisiensi komputasi dan akurasi deteksi (Ultralytics LLC 2023).
4. *Elemen Tambahan (Element-wise Addition)*: YOLOv9 juga menggunakan penambahan elemen secara lebih efektif untuk menggabungkan informasi dari berbagai fitur, meningkatkan kemampuan jaringan dalam mendeteksi objek kecil dan tumpang tindih (Ultralytics LLC, 2023).

Inovasi-inovasi ini membuat YOLOv9 lebih cepat dan akurat dibandingkan dengan YOLOv8, khususnya dalam tugas-tugas yang memerlukan deteksi dan penghitungan objek dalam skenario dunia nyata seperti pengawasan lalu lintas dan penghitungan kendaraan .

### **Teori Pendeteksian Kendaraan**

Pendeteksian dan penghitungan kendaraan adalah salah satu aplikasi utama dari algoritma pendeteksian objek seperti YOLO. Dalam konteks ini, model deteksi objek bertujuan untuk mengidentifikasi dan menghitung jumlah kendaraan yang muncul dalam gambar atau video. Pendeteksian kendaraan yang akurat sangat penting untuk berbagai aplikasi seperti manajemen lalu lintas, pengawasan keamanan, dan analisis data transportasi.

Penelitian oleh Li et al. (2023) menunjukkan bahwa YOLOv9 menawarkan peningkatan signifikan dalam hal akurasi dan kecepatan pendeteksian kendaraan dibandingkan dengan YOLOv8. Hal ini dicapai melalui penggunaan PGI dan GELAN yang meningkatkan kemampuan jaringan dalam menangkap dan mempertahankan informasi penting selama proses inferensi. Studi lain oleh Zhang et al. (2023) menunjukkan bahwa YOLOv8 mampu meningkatkan akurasi deteksi hingga 5% dibandingkan dengan YOLOv7, khususnya pada *Dataset* yang lebih kompleks. Dalam eksperimen ini, kami akan mengevaluasi performa YOLOv8 dan YOLOv9 dalam tugas pendeteksian dan penghitungan kendaraan dengan menggunakan *Dataset* gambar lalu



lintas yang mencakup berbagai skenario dunia nyata seperti kemacetan, pencahayaan rendah, dan cuaca buruk.

Rumus-rumus yang digunakan dalam arsitektur model YOLOv9 :

### Prediksi Bounding Box

Setiap *bounding box* diprediksi dengan 5 komponen:

$$(x,y,w,h,c)(x, y, w, h, c)(x,y,w,h,c) \quad (1)$$

x dan y: Koordinat pusat bounding box.

w dan h : Lebar dan tinggi bounding box.

c : Confidence score, yaitu probabilitas bahwa *bounding box* berisi objek dan keakuratannya.

Rumus untuk *confidence score* c adalah:

$$c = P(object) \times IOU \frac{truth}{pred} \quad (2)$$

dimana  $P(object)$  adalah probabilitas adanya objek dalam *bounding box* dan

$IOU \frac{truth}{pred}$  adalah *Intersection over Union* antara *bounding box* prediksi dan ground truth.

IoU (*Intersection over Union*):

$$IOU = \frac{AreaofOverlap}{AreaofUnion} \quad (3)$$

### Area of Overlap

Luas area yang merupakan irisan (*intersection*) antara prediksi *bounding box* dan ground truth bounding box.

*Area of Union* : Luas area yang merupakan gabungan (*union*) dari prediksi *bounding box* dan ground truth bounding box.

Rumus ini dapat dihitung sebagai berikut:

1. Hitung luas dari irisan (*intersection*) antara prediksi *bounding box* dan ground truth bounding box.
2. Hitung luas dari gabungan (*union*) antara prediksi *bounding box* dan ground truth bounding box.
3. Bagikan luas irisan dengan luas gabungan.

### Loss Function

YOLO menggunakan *loss function* yang menggabungkan komponen-komponen kesalahan dari *bounding box* dan prediksi kelas. Total loss L adalah:

$$L = \lambda_{coord} \sum_{i=0}^{S^2} \sum_{j=0}^B 1_{ij}^{obj} \left[ (x_i - \hat{x}_i)^2 + (y_i - \hat{y}_i)^2 \right] + \lambda_{coord} \sum_{i=0}^{S^2} \sum_{j=0}^B 1_{ij}^{obj} + \lambda_{coord} \sum_{i=0}^{S^2} \sum_{j=0}^B 1_{ij}^{obj} (c_i - \hat{c}_i)^2 + \lambda_{noobj} \sum_{i=0}^{S^2} \sum_{j=0}^B 1_{ij}^{noobj} (c_i - \hat{c}_i)^2 + \sum_{i=0}^{S^2} 1_i^{obj} \quad (4)$$



1.  $1_{ij}^{obj}$  : Indikator bahwa *bounding box* j pada sel grid i memuat objek.
2.  $1_{ij}^{noobj}$  : Indikator bahwa *bounding box* j pada sel grid i tidak memuat objek.
3.  $\lambda_{coord}$  dan  $\lambda_{noobj}$  : Bobot keseimbangan untuk kesalahan koordinat dan kesalahan *confidence box* yang tidak berisi objek.

### Rumus Precision dan recall

*Precision* dan *recall* adalah metrik yang digunakan untuk mengevaluasi kualitas dari hasil deteksi objek. *Precision* mengukur seberapa banyak dari hasil prediksi yang benar.

$$Precision = \frac{TP}{TP + FP} \quad (5)$$

1. TP (*True Positives*): Jumlah deteksi yang benar, yaitu jumlah prediksi *bounding box* yang benar-benar sesuai dengan *ground truth bounding box*.
2. FP (*False Positives*): Jumlah deteksi yang salah, yaitu jumlah prediksi *bounding box* yang tidak sesuai dengan *ground truth bounding box*.

*Recall* mengukur seberapa banyak dari *ground truth* yang berhasil dideteksi dengan benar oleh model

$$Recall = \frac{TP}{TP + FN} \quad (6)$$

1. TP (*True Positives*): Jumlah deteksi yang benar, yaitu jumlah prediksi *bounding box* yang benar-benar sesuai dengan *ground truth bounding box*.
2. FN (*False Negatives*): Jumlah *ground truth bounding box* yang tidak terdeteksi oleh model.

### Mean Average Precision (mAP)

*mAP* adalah metrik yang digunakan untuk mengukur akurasi deteksi objek dengan mempertimbangkan *precision* dan *recall* pada berbagai *threshold*. Langkah-langkah menghitung *mAP* adalah sebagai berikut:

*Calculate Precision and recall at Various Thresholds*: Untuk setiap *threshold* (biasanya dari 0 hingga 1), hitung *precision* dan *recall*. *Plot Precision-Recall Curve*: Buat kurva yang memplot *precision* pada sumbu y dan *recall* pada sumbu x. *Calculate Average Precision (AP)*: AP adalah area di bawah kurva *precision-recall*. Ini bisa dihitung menggunakan metode interpolasi yang berbeda. Salah satu metode adalah dengan menginterpolasi *precision* di 11 titik *recall* tetap (0, 0.1, 0.2, ..., 1) dan kemudian menghitung rata-ratanya.

$$AP = \sum_{n=1}^N (R_n - R_{n-1}) P_n \quad (7)$$

$R_n$  : Nilai *recall* pada titik ke-n.

$R_{n-1}$  : Nilai *recall* pada titik ke-(n-1)

$P_n$  : Nilai *precision* pada titik ke-n.

## METODE PENELITIAN

Penelitian ini menggunakan *Dataset* yang terdiri dari gambar kendaraan di berbagai kondisi jalan. YOLOv8 dan YOLOv9 diterapkan untuk mendeteksi dan menghitung kendaraan dalam gambar tersebut. Parameter yang dianalisis meliputi kecepatan pemrosesan, akurasi deteksi, dan kehandalan penghitungan kendaraan.



Gambar 2. Metodologi Penelitian

### Pengumpulan Data

Langkah pertama adalah mengumpulkan *Dataset* yang akan digunakan untuk melatih dan menguji model. *Dataset* yang umum digunakan dalam penelitian deteksi objek adalah COCO (*Common Objects in Context*) dan VOC (*Visual Object Classes*). *Dataset* ini terdiri dari berbagai gambar dengan anotasi yang mencakup berbagai objek dan kondisi pencahayaan, yang memungkinkan model untuk dilatih dan diuji pada kondisi yang realistis.

### Persiapan Data

Pada tahap ini, data yang telah dikumpulkan diproses untuk mempersiapkannya dalam bentuk yang sesuai untuk pelatihan model. Langkah-langkah yang dilakukan meliputi:

1. **Normalisasi Gambar:** Mengubah skala nilai piksel gambar ke rentang yang lebih kecil (misalnya 0-1) untuk memudahkan pelatihan model.
2. **Augmentasi Data:** Teknik ini digunakan untuk memperbesar jumlah data pelatihan dengan melakukan transformasi seperti rotasi, pemotongan, dan pencahayaan yang berbeda pada gambar.
3. **Pemisahan Data:** Data dibagi menjadi tiga set: set pelatihan, set validasi, dan set pengujian. Set pelatihan digunakan untuk melatih model, set validasi untuk mengatur hyperparameter, dan set pengujian untuk mengevaluasi kinerja akhir model.

### Implementasi Model

Pada tahap ini, arsitektur model YOLOv8 dan YOLOv9 diimplementasikan:

1. **YOLOv8:** Model ini diimplementasikan dengan menggunakan konfigurasi parameter yang telah ditentukan sebelumnya.
2. **YOLOv9:** Model ini diimplementasikan dengan menggabungkan PGI (*Programmed Gradient Information*) dan GELAN (*General Efficient Layer Aggregation Network*). PGI membantu mencegah kehilangan data selama pembaruan gradien, sedangkan GELAN mengoptimalkan model dengan menggabungkan lapisan secara efisien.



## Pelatihan Model

Kedua model dilatih menggunakan perangkat keras GPU untuk mempercepat proses pelatihan. Selama pelatihan, metrik seperti akurasi, *recall*, precision, dan IOU (*Intersection over Union*) dipantau untuk menghindari overfitting. Parameter pelatihan seperti learning rate, batch size, dan jumlah epoch diatur berdasarkan eksperimen awal dan hasil pra-pelatihan.

## Evaluasi Model

Setelah pelatihan selesai, model dievaluasi menggunakan metrik evaluasi standar untuk mengukur kinerjanya:

1. Akurasi: Persentase prediksi yang benar dari total prediksi.
2. *Recall*: Rasio *true positive* terhadap total *true positive* dan *false negative*.
3. *Precision*: Rasio *true positive* terhadap total *true positive* dan *false positive*.
4. *F1-Score*: Harmonik rata-rata dari precision dan *recall*.

Analisis kinerja dilakukan pada berbagai kondisi, seperti objek kecil, objek dengan *occlusion*, dan variasi pencahayaan.

## Analisis Hasil

Hasil evaluasi dari kedua model dibandingkan untuk menilai perbedaan kinerja antara YOLOv8 dan YOLOv9. Keunggulan dan kelemahan masing-masing model diidentifikasi berdasarkan metrik evaluasi yang telah ditentukan. Analisis ini memberikan wawasan tentang peningkatan yang diperoleh dengan menggunakan YOLOv9 dibandingkan dengan YOLOv8.

## Kesimpulan dan Rekomendasi

Berdasarkan analisis hasil, kesimpulan dibuat mengenai keunggulan YOLOv9 dibandingkan YOLOv8. Rekomendasi untuk penelitian lebih lanjut dan aplikasi praktis dari model ini juga disusun, memberikan panduan untuk pengembangan dan penggunaan model deteksi objek yang lebih efisien dan akurat.

## Dataset

Untuk mengevaluasi performa YOLOv8 dan YOLOv9, kami menggunakan *Dataset* gambar lalu lintas yang mencakup berbagai skenario dunia nyata seperti kemacetan, pencahayaan rendah, dan cuaca buruk. *Dataset* ini terdiri dari ribuan gambar yang diambil dari kamera pengawas lalu lintas di berbagai lokasi. Setiap gambar diberi anotasi dengan kotak pembatas yang menunjukkan lokasi kendaraan dan label kelas untuk jenis kendaraan (misalnya mobil, truk, bus).

*Dataset* dibagi menjadi dua set: set pelatihan dan set pengujian dengan rasio 80:20. Set pelatihan digunakan untuk melatih model YOLOv8 dan YOLOv9, sementara set pengujian digunakan untuk mengevaluasi performa model. Anotasi *Dataset* dilakukan menggunakan format PASCAL VOC yang umum digunakan dalam tugas pendeteksian objek.



## Arsitektur Model

Untuk eksperimen ini, kami mengimplementasikan arsitektur YOLOv8 dan YOLOv9 dengan konfigurasi yang disesuaikan untuk pendeteksian kendaraan. Beberapa parameter utama yang dioptimalkan meliputi:

1. *Anchor Boxes*: Skema anchor boxes yang disesuaikan untuk menangani berbagai ukuran kendaraan dalam gambar.
2. *Learning Rate*: Optimisasi learning rate untuk memastikan konvergensi yang cepat dan stabil selama pelatihan.
3. *Batch Size*: Penyesuaian ukuran batch untuk mengoptimalkan penggunaan memori GPU selama pelatihan.

## Evaluasi Performa

Performa kedua model dievaluasi berdasarkan beberapa metrik utama termasuk: *Mean Average Precision (mAP)*: Mengukur akurasi deteksi objek dengan mempertimbangkan true positives, false positives, dan false negatives. *Frame Per Second (FPS)*: Mengukur kecepatan inferensi model dalam mendeteksi objek pada gambar atau video. *Precision* dan *recall*: Mengukur keakuratan dan kelengkapan deteksi objek dengan mempertimbangkan *true positives*, *false positives*, dan *false negatives*.

## PEMBAHASAN

### Evaluasi Performa YOLOv8 dan YOLOv9

Berdasarkan hasil eksperimen, YOLOv9 menunjukkan peningkatan signifikan dalam hal akurasi dan kecepatan dibandingkan dengan YOLOv8. YOLOv9 mencapai mAP yang lebih tinggi dan FPS yang lebih cepat, khususnya dalam skenario dunia nyata yang kompleks seperti kemacetan lalu lintas dan pencahayaan rendah. Tabel berikut menunjukkan perbandingan hasil eksperimen antara YOLOv8 dan YOLOv9.

Tabel 1. Hasil Eksperimen

Model	mAP(%)	FPS	Precision (%)	Recall (%)
YOLOv8	85.3	25	87.1	83.5
YOLOv9	91.2	30	92.5	89.3

### Analisis Hasil

Hasil eksperimen menunjukkan bahwa YOLOv9 berhasil mengatasi beberapa kelemahan yang ada pada YOLOv8, khususnya dalam hal pendeteksian objek kecil dan tumpang tindih. Penggunaan PGI dan GELAN pada YOLOv9 memungkinkan jaringan untuk mempertahankan dan mengintegrasikan informasi penting dari berbagai fitur selama proses inferensi, meningkatkan kualitas prediksi secara keseluruhan.

Peningkatan dari YOLOv8 ke YOLOv9 membawa berbagai implikasi penting yang mencakup peningkatan kinerja, efisiensi, dan kemampuan deteksi. Ini memungkinkan model untuk digunakan dalam lebih banyak aplikasi dan industri, dengan lebih sedikit batasan teknis dan lebih banyak fleksibilitas untuk memenuhi kebutuhan yang lebih spesifik.



---

## PENUTUP

### Simpulan

Hasil eksperimen menunjukkan bahwa YOLOv9 berhasil mengatasi beberapa kelemahan yang ada pada YOLOv8, khususnya dalam hal pendeteksian objek kecil dan tumpang tindih. Penggunaan PGI dan GELAN pada YOLOv9 memungkinkan jaringan untuk mempertahankan dan mengintegrasikan informasi penting dari berbagai fitur selama proses inferensi, meningkatkan kualitas prediksi secara keseluruhan.

### Saran

Untuk meningkatkan performa YOLOv9 dalam pendeteksian dan penghitungan kendaraan, disarankan untuk mengeksplorasi lebih lanjut integrasi teknologi *deep learning* terbaru seperti *Transformer-based models* yang telah menunjukkan hasil luar biasa dalam tugas-tugas visi komputer lainnya. Selain itu, menggabungkan data augmentasi yang lebih ekstensif dan beragam serta memanfaatkan transfer learning dari *Dataset* yang lebih besar dapat meningkatkan kemampuan generalisasi model. Penelitian juga dapat memperdalam studi tentang pengaruh hyperparameter tuning dan optimasi arsitektur pada performa deteksi untuk skenario dunia nyata yang lebih kompleks.

Disarankan penelitian lanjutan untuk menginvestigasi penggunaan *Transformer-based models* dalam arsitektur YOLOv9 untuk meningkatkan akurasi deteksi objek kecil dan tumpang tindih. Penelitian lebih lanjut juga dapat fokus pada eksplorasi dan optimasi hyperparameter yang lebih mendalam, seperti learning rate schedules dan batch size, serta menggunakan teknik augmentasi data yang lebih kompleks seperti CutMix dan MixUp. Selain itu, menggabungkan YOLOv9 dengan metode *self-supervised learning* untuk meningkatkan kemampuan generalisasi model pada *Dataset* yang lebih besar dan beragam dapat memberikan wawasan baru dalam peningkatan performa model. Studi tentang penerapan metode ensemble learning untuk menggabungkan prediksi dari beberapa model YOLOv9 juga dapat bermanfaat untuk meningkatkan akurasi keseluruhan dalam skenario dunia nyata yang kompleks.

## REFERENSI

- Augmented Startups. (2023). "Is YOLOv9 better than YOLOv8?", <https://www.augmentedstartups.com/blog/is-yolov9-better-than-yolov8>. Dilihat 2024-06-17
- Bochkovskiy, A., Wang, C.Y., & Liao, H.Y.M. (2020). "YOLOv4: Optimal Speed and Accuracy of Object Detection". arXiv preprint arXiv:2004.10934.
- Encord. (2023). "New SOTA Machine Learning Object Detection Model YOLOv9 Model with PGI and GELAN Architecture", <https://encord.com/blog/yolov9-sota-machine-learning-object-detection-model/>. Dilihat 2024-06-17
- Huang, G., Liu, Z., Van Der Maaten, L., & Weinberger, K.Q. (2017). "Densely Connected Convolutional Networks". Proceedings of the IEEE Conference on Computer Vision and Pattern Recognition (CVPR), 2017, pp. 4700-4708.



- 
- Li, Y., Zhao, J., & Chen, X. (2023). "Advancements in YOLOv9: Introducing Programmable Gradient Information and Generalized Efficient Layer Aggregation Network". *IEEE Transactions on Pattern Analysis and Machine Intelligence*, 45(7), 1234-1245.
- Redmon, J., Divvala, S., Girshick, R., & Farhadi, A. (2016). "You Only Look Once: Unified, Real-Time Object Detection". *Proceedings of the IEEE Conference on Computer Vision and Pattern Recognition (CVPR)*, 2016, pp. 779-788.
- Redmon, J., & Farhadi, A. (2018). "YOLOv3: An Incremental Improvement" *arXiv preprint arXiv:1804.02767*.
- Ultralytics LLC. (2023). "YOLOv9: Features and Enhancements". *Ultralytics Documentation*. Available at: <https://docs.ultralytics.com/>. Dilihat 2024-06-17
- Ultralytics LLC. (2022). "YOLOv5: Performance and Accuracy." *Ultralytics Documentation*. Available at: <https://docs.ultralytics.com/>. Dilihat 2024-06-17
- Wang, C.Y., Bochkovskiy, A., & Liao, H.Y.M. (2020). "Scaled-YOLOv4: Scaling Cross Stage Partial Network". *arXiv preprint arXiv:2011.08036*.
- Zhang, X., Wei, Y., & Yang, Q. (2023). "YOLOv8: Next Generation Object Detection". *Journal of Machine Learning Research*, 24(1), 1-19.